

Um Estudo sobre Simulação Numérica de Necrose de Células Tumoriais por Hipertermia Local

Introdução aos Métodos Discretos
Aluno: Yago Pereira dos Anjos Santos
Prof. Dr. Ruy Freitas Reis

Universidade Federal de Juiz de Fora
Programa de Pós-graduação em Modelagem Computacional

12 de setembro de 2025



- 1 Introdução e Motivação
- 2 Apresentação do Modelo
- 3 Simulações e Resultados
- 4 Conclusão

- 1 Introdução e Motivação
- 2 Apresentação do Modelo
- 3 Simulações e Resultados
- 4 Conclusão

- **Motivação:** Expor sobre as contribuições feitas nos estudos de modelos que visam a ajudar nos avanços no tratamento do câncer, conforme [3].
- **Hipertermia:** Técnica amplamente utilizada para o tratamento de câncer a fim de destruir tumores.
- **Ideia central:** Aquecer uma região específica comprometida por um tumor.
- **A técnica:** A geração de calor se dá por meio de nanopartículas magnéticas submetidas a campo magnético variável.

- 1 Introdução e Motivação
- 2 Apresentação do Modelo**
- 3 Simulações e Resultados
- 4 Conclusão

O Modelo de Bio-Calor de Pennes

Equação de Condução de Calor em Tecido Biológico

A distribuição de temperatura $T(\vec{x}, t)$ no tecido é governada pela equação transiente de Pennes [2], uma forma modificada da equação do calor.

$$\rho c \frac{\partial T(\vec{x}, t)}{\partial t} = \underbrace{\nabla \cdot k \nabla T(\vec{x}, t)}_{\text{Difusividade}} + \omega_b \rho_b c_b (T_a - T(\vec{x}, t)) + \underbrace{Q_m(\vec{x})}_{\text{Calor Metabólico}} + \underbrace{Q_r(\vec{x}, t)}_{\text{Calor de Radiação}}$$

- ρ, c, k : Densidade, calor específico e condutividade térmica do tecido.
- ω_b, ρ_b, c_b : Perfusão sanguínea, densidade e calor específico do sangue.
- T_a : Temperatura do sangue arterial (37°C).
- Q_m : Taxa de calor gerado pelo metabolismo do tecido.
- $Q_r(\vec{x}, t) = \sum_{i=1}^n A_i e^{-r(\vec{x})_i^2 / r_{0,i}^2}$.

Condições de Contorno e Inicial

- **Domínio considerado:** Quadrado Ω de lado $0.1m$ com um quadrado central de lado $0.02m$.

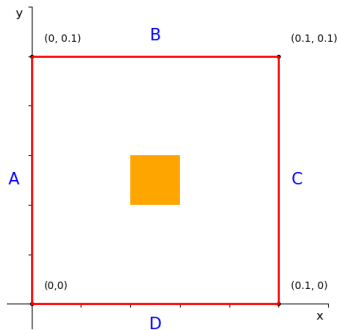


Figura 1: Domínio Ω com região central tumoral.

- **Condição de Dirichlet:**
 $T(\vec{x}, t) = 37, \quad \vec{x} \text{ em } \partial\Omega_A, t \geq 0.$
- **Condição de Neumann:**
 $\nabla T(\vec{x}, t) \cdot \vec{n} = 0, \quad \vec{x} \text{ em } \partial\Omega_{B,C,D}, t \geq 0.$
- **Condição inicial:** $T(\vec{x}, 0) = 37^\circ C, \quad \vec{x} \in \Omega.$

- **Em relação ao espaço:** termo difusivo $\nabla \cdot k \nabla T$.

$$\frac{\partial}{\partial x} \left(k \frac{\partial}{\partial x} T \right) \approx \frac{1}{h^2} (k_{i-1/2,j} T_{i-1,j} + k_{i+1/2,j} T_{i+1,j} - (k_{i-1/2,j} + k_{i+1/2,j}) T_{i,j})$$

$$\frac{\partial}{\partial y} \left(k \frac{\partial}{\partial y} T \right) \approx \frac{1}{h^2} (k_{i,j-1/2} T_{i,j-1} + k_{i,j+1/2} T_{i,j+1} - (k_{i,j-1/2} + k_{i,j+1/2}) T_{i,j})$$

Logo,

$$\begin{aligned} \nabla \cdot k (\nabla T) &\approx \frac{1}{h^2} (k_{i-1/2,j} T_{i-1,j} + k_{i+1/2,j} T_{i+1,j} + k_{i,j-1/2} T_{i,j-1} + k_{i,j+1/2} T_{i,j+1}) \\ &\quad - \frac{1}{h^2} ((k_{i-1/2,j} + k_{i+1/2,j} + k_{i,j-1/2} + k_{i,j+1/2}) T_{i,j}) \end{aligned}$$

■ Médias harmônicas:

$$k_{i+1/2,j} = \frac{2k_{i,j}k_{i+1,j}}{k_{i,j} + k_{i+1,j}}, \quad k_{i-1/2,j} = \frac{2k_{i,j}k_{i-1,j}}{k_{i,j} + k_{i-1,j}},$$
$$k_{i,j+1/2} = \frac{2k_{i,j}k_{i,j+1}}{k_{i,j} + k_{i,j+1}}, \quad k_{i,j-1/2} = \frac{2k_{i,j}k_{i,j-1}}{k_{i,j} + k_{i,j-1}}.$$

■ Em relação ao tempo (progressiva):

$$\frac{\partial T}{\partial t} \approx \frac{T_{i,j}^{n+1} - T_{i,j}^n}{h_t}.$$

■ Equação Estacionária:

$$\begin{aligned} & \frac{1}{h^2} (k_{i-1/2,j} T_{i-1,j} + k_{i+1/2,j} T_{i+1,j} + k_{i,j-1/2} T_{i,j-1} + k_{i,j+1/2} T_{i,j+1}) \\ & - \frac{1}{h^2} ((k_{i-1/2,j} + k_{i+1/2,j} + k_{i,j-1/2} + k_{i,j+1/2}) T_{i,j}) - (\omega_b)_{i,j} \rho_b c_b T_{i,j} = \\ & = -(\omega_b)_{i,j} \rho_b c_b T_a - (Q_m)_{i,j} - (Q_r)_{i,j}. \end{aligned}$$

■ Equação Transiente:

$$\begin{aligned} \rho c \left(\frac{T_{i,j}^{n+1} - T_{i,j}^n}{h_t} \right) = & \\ \frac{1}{h^2} \left(k_{i-1/2,j} T_{i-1,j}^{n+1} + k_{i+1/2,j} T_{i+1,j}^{n+1} + k_{i,j-1/2} T_{i,j-1}^{n+1} + k_{i,j+1/2} T_{i,j+1}^{n+1} \right) & \\ - \frac{1}{h^2} \left((k_{i-1/2,j} + k_{i+1/2,j} + k_{i,j-1/2} + k_{i,j+1/2}) T_{i,j}^{n+1} \right) & \\ - (\omega_b)_{i,j} \rho_b c_b T_{i,j}^{n+1} - (\omega_b)_{i,j} \rho_b c_b T_a - (Q_m)_{i,j} - (Q_r)_{i,j}. & \end{aligned}$$

Forma implícita para aplicação do método de Euler implícito.

- 1 Introdução e Motivação
- 2 Apresentação do Modelo
- 3 Simulações e Resultados**
- 4 Conclusão

Simulações e Resultados

Parâmetros do Problema

Parâmetros utilizados para a simulação do modelo.

Símbolo	Unidade	Músculo Saudável	Músculo Tumoral
c	$(J/Kg^{\circ}C)$	4200.0	4200.0
c_b	$(J/Kg^{\circ}C)$	4200.0	4200.0
k	$(W/m^{\circ}C)$	0.5	0.55
ρ	(Kg/m^3)	1000.0	1000.0
ρ_b	(kg/m^3)	1000.0	1000.0
ω_b	$(ml/s/ml)$	0.00051	0.00125

Tabela 1: Parâmetros do modelo.

Simulações e Resultados

Parâmetros do Problema

- Passo de tempo: $h_t = 0.1s$.
- Discretização no espaço: $h = h_x = h_y = 10^{-3}$.

Símbolo	Descrição	Unidade	Um Ponto	Quatro Pontos
A	Amplitude máxima da geração de calor	(W/m^3)	1.3×10^6	0.325×10^6
r_0	Raio de distância de espalhamento	(m)	3.1×10^{-3}	3.1×10^{-3}

Tabela 2: Parâmetros da aplicação do tratamento com hipertermia.

Simulações e Resultados

O Modelo Estacionário

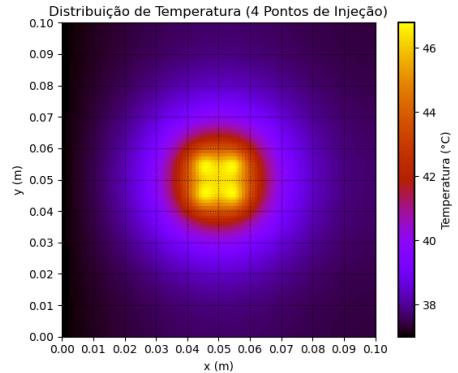
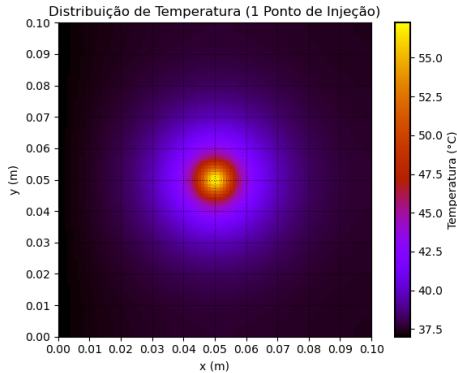


Figura 2: Distribuição de temperatura para os dois casos considerados.

Simulações e Resultados

O Modelo Transiente

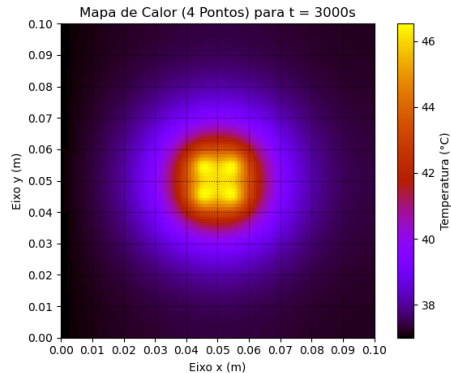
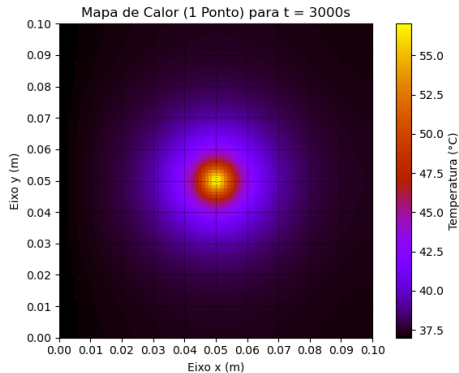


Figura 3: Distribuição de temperatura para os dois casos considerados.

O Modelo Estacionário (Evolução Temporal)

- Ponto no tecido saudável: $(0.030, 0.050)$.
- Ponto no tecido tumoral: $(0.045, 0.050)$.

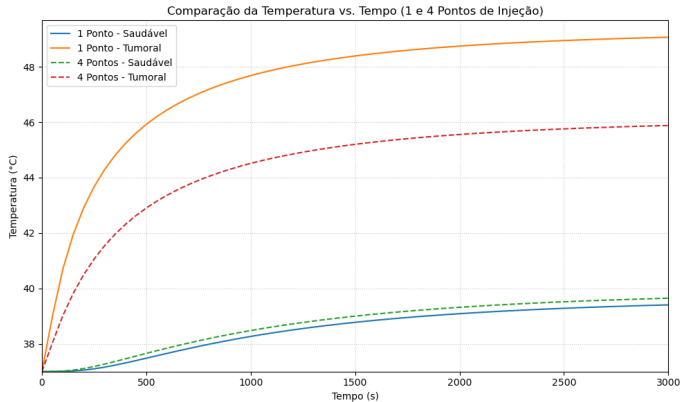


Figura 4: Evolução temporal em dois pontos distintos do domínio.

- 1 Introdução e Motivação
- 2 Apresentação do Modelo
- 3 Simulações e Resultados
- 4 Conclusão**

- **Computacionalmente custoso:** Malha com passo $h = 10^{-3}$.
 - utilização da função **spsolve** da biblioteca **scipy** do Python para lidar com matrizes esparsas de maneira eficiente.
 - Paralelização com a biblioteca **multiprocessing** nativa do Python.
- Distribuições de temperatura para o caso transiente semelhantes aos obtidos para o caso estacionário ($t = 50min$).
- A aplicação em um único ponto se mostra mais viável, uma vez que a temperatura na região tumoral cresce rapidamente enquanto a temperatura no tecido saudável é menor do que àquela comparada ao caso da injeção em quatro pontos.

- [1] W Minkowycz.
Advances in numerical heat transfer, volume 1.
CRC press, 1996.
- [2] Harry H Pennes.
Analysis of tissue and arterial blood temperatures in the resting human forearm.
Journal of applied physiology, 1(2):93–122, 1948.
- [3] RF Reis, FS Loureiro, and M Lobosco.
A parallel 2d numerical simulation of tumor cells necrosis by local hyperthermia.
In *Journal of Physics: Conference Series*, volume 490, page 012138. IOP Publishing, 2014.
- [4] Maher Salloum, Ronghui Ma, and Liang Zhu.
An in-vivo experimental study of temperature elevations in animal tissue during magnetic nanoparticle hyperthermia.
International Journal of Hyperthermia, 24(7):589–601, 2008.

Obrigado!